

لهم إني<sup>أعوذ</sup>  
بِكَمْنَجَرِ  
الْمُسْتَحْشِي



دانشکده برق و رباتیک

پایان نامه کارشناسی ارشد

گرایش برق قدرت

مدل سازی و کنترل توربین بادی سرعت متغیر مجهز به ژنراتور القایی تغذیه

دوگانه در حالت های خطای شبکه

صابر نقدی گنجی

استاد راهنما:

دکتر احمد دارابی

استاد مشاور:

دکتر محسن اصیلی

تابستان ۱۳۹۰

## تعدیم به

پدر عزیزم

به پاس دیای بی کران صبر و سخاوش

او که در طوفان زندگی، هچون کوهی استوار برایم تکیه گاهی بی همتاست

و مادر لسوزم

بیاد سخن سخن عشقی که نثارم کرد

او که بر لب تر نم دعا دارد و ددل عشقی سوزان

و به همسر همراهانم

او که بانجایت مخصوصانه و محبت دلنوازش همواره سردی یاس را ز خمیر وجودم می زداید

هموکه یادش سیماں آرامش است و دستایش مرد آرزو هایم پیوند می دهد.

وبرادرانم

همان که تا همیشه نگاهم محتاج نگاهه همراهان خواهد بود

# مشکر و قدردانی

دابتدا اجازه می خواهم سپاس و مشکر و پیره خود را به استاد بزرگوارم، جناب آقای دکتر احمد دارابی نشار کنم.

چه بساکه نظر لطف ایشان در جای جای این پایان نامه قابل مشاهده است.

دایخا جادار داز تلاش های جناب آقای دکتر محسن اصلی، استاد مشاور عزیز بنده به دلیل همکاری مؤثر

ایشان در به ثمر رسیدن این پایان نامه کمال مشکر و قدردانی را داشته باشم.

همین طور سپاس بی دریغ خود را شار و پر و مادر عزیزم که پشتونز روحی بنده بودند و همسر هم ربانم که محیطی آرام را

برای بنده فراهم کردند، می کنم.

صابر نقدی گنجی

تابستان ۱۳۹۰.

## چکیده

بسیاری از کشورهای توسعه یافته در پی استفاده از انرژی باد در مناطق دورافتاده، محروم و مناطق نظامی-عملیاتی هستند. همچنین در صنایع دفاع از این طریق می‌توان انرژی لازم برای ابزار و تجهیزات نظامی در مناطق پشتیبانی نظامی را فراهم نمود. در حال حاضر این امکان سنجی در مناطق آبی کشورمان نیز بوجود آمده که مزارع بادی را در دریاهای از جمله دریای خزر، خلیج فارس و دریای عمان بنا نهیم. همچنین در مقیاسی کوچکتر می‌توان توربین‌های بادی، مطالعه و تحقیق در مورد رفتار آن‌ها در هنگام اغتشاشات رساند. با نفوذ رو به رشد توربین‌های بادی، مطالعه و تحقیق در مورد رفتار آن‌ها در هنگام اغتشاشات گذرا و پشتیبانی از آن‌ها با قابلیت‌های در مدار باقی ماندن در حین خطا، تبدیل به یک ضرورت شد. این قابلیت بدان معناست که تمام واحدهای تولیدی، از جمله واحد تولیدی باد، باید توانایی متصل باقی ماندن در هنگام خطاها و حالت‌های کاهش ولتاژ را در محدوده مشخصی را داشته باشند. در بین انواع ژنراتورهای به کار رفته در توربین‌های بادی، ژنراتورهای القایی تغذیه دوگانه دارای قابلیت‌های بسیار جالبی هستند. در این پایان نامه ابتدا با استفاده از معادلات و روابط کنترل برداری میدان گرا، شارها و جریان‌های مرجع بدست آمد. سپس با استفاده از روش کنترل گشتاور مستقیم جریان‌های پیش‌گویانه ارائه شد. برخلاف روش‌های موجود که معمولاً از روش کروبار جهت در مدار باقی ماندن توربین بادی از آن استفاده می‌کنند در روش پیشنهادی نیازی به استفاده از تجهیزات اضافی نیست و جریان‌های رتور در هنگام خطا کنترل شده بدست خواهند آمد. چگونگی این مطلب نیز به وسیله نتایج شبیه سازی بررسی شده است. در پایان نیز رفتار گذرای ماشین در حین و بعد از خطای شبکه در ولتاژ ترمینال به عنوان نمونه، شبیه سازی شده است. نتایج حاکی از آن است که روش پیشنهادی در مقایسه با روش‌های مرسوم این معیار کارایی را بهبود بخشیده است.

**کلید واژه‌ها:** در مدار باقی ماندن هنگام خطا، ژنراتور القایی تغذیه دوگانه، شبیه سازی، کنترل توربین بادی.

## فهرست مطالب

صفحه	عنوان
۵	فهرست علایم و نشانه‌ها
۷	فهرست جدول‌ها
۹	فهرست شکل‌ها
۱۰	فصل ۱ - مروری بر کارهای گذشته
۱۱	۱-۱ - مقدمه
۱۴	۱-۲ - پیشینه پژوهشی
۱۰	۱-۳ - ساختار گزارش
۱۲	فصل ۲ - انرژی باد و مروری بر ژنراتورهای بکار رفته در توربین‌های بادی
۱۳	۲-۱ - مقدمه
۱۳	۲-۲ - آمار نیروگاه بادی نصب شده در ایران و جهان
۱۶	۳-۱ - معادلات پایه مربوط به انرژی باد
۱۷	۴-۱ - محاسبه توان استخراجی از باد
۲۲	۴-۲ - کنترل انحرافی ناسل توربین بادی
۲۲	۴-۳ - کنترل توان با تغییر زاویه پره
۲۳	۴-۴ - کنترل توان با روش استال
۲۳	۴-۵ - کنترل استال فعال
۲۴	۵-۱ - معرفی انواع ژنراتورهای بکار رفته در توربینهای بادی
۲۵	۵-۲ - ژنراتورهای القایی
۲۶	۱-۱-۵ - قفس سنجابی

۲۹	- ۲-۱-۵-۲ - ژنراتور القایی رتور سیم پیچی شده.....
۳۰	- ۳-۱-۵-۲ - ژنراتورهای القایی تغذیه دوگانه.....
۳۴	- ۲-۵-۲ - ژنراتورهای سنکرون.....
۳۵	- ۲-۲-۵-۲ - ژنراتور سنکرون با تحریک کلاسیک.....
۳۵	- ۲-۲-۵-۲ - ژنراتورهای سنکرون با تحریک آهنربای دائم.....
۳۶	- ۶-۲ - مقایسه انواع ژنراتورهای بکار رفته در نیروگاههای بادی.....
۴۰	<b>فصل ۳ - مدلسازی توربین بادی با ژنراتور القایی تغذیه دوگانه.....</b>
۴۰	۴۰ - ۱-۳ - مقدمه
۴۰	- ۲-۳ - مدل آیرودینامیک پره.....
۴۲	- ۳-۳ - مدل جعبه دنده.....
۴۴	- ۴-۳ - مدلسازی ژنراتور القایی.....
۴۹	- ۵-۳ - بررسی مرتبه های مختلف یک مدل ژنراتور القایی.....
۵۰	- ۶-۳ - مدلسازی مبدل فرکانسی.....
۵۱	- ۷-۳ - مدل مدار کنترل رتور.....
۵۵	<b>فصل ۴ - بررسی و شبیه سازی ژنراتور القایی تغذیه دوگانه با استفاده از روش کنترلی جریان پیشگویانه.....</b>
۵۵	۵۵ - ۱-۴ - مقدمه
۵۵	- ۴-۲ - روش کنترل مستقیم گشتاور DTC.....
۵۵	- ۱-۲-۴ - اصول روش DTC.....
۵۶	- ۲-۲-۴ - معادله گشتاور بر مبنای شار استاتور و رتور.....
۵۸	- ۳-۲-۴ - نحوه محاسبه شار و گشتاور.....
۵۹	- ۴-۲-۴ - پیاده سازی روش DTC با استفاده از اینورتر منبع ولتاژ سه فاز.....
۶۱	- ۵-۲-۴ - منطق انتخاب بردارهای کلیدزنی .....

۶۴ .....	-۳-۴ - روش جهت یابی شار FOC
۶۶ .....	-۱-۳-۴ - طرح اساسی کنترل جهت یابی میدان
۶۷ .....	-۲-۳-۴ - کنترل مستقیم جهت یابی میدان
۶۹ .....	-۳-۳-۴ - مدلولاسیون بردار فضایی سنتی (SVM)
۷۲ .....	-۴-۴ - کنترل جریان پیشگویانه
۷۲ .....	-۱-۴-۴ - کنترل جریان پیشگویانه در اینورتر تکفاز
۷۵ .....	-۲-۴-۴ - کنترل جریان پیشگویانه اینورتر سه فاز
۷۶ .....	-۵ - معادلات حاکم بر کنترل جریان پیشگویانه
۸۲ .....	-۶ - ارزیابی روش کنترلی پیشنهادی با استفاده از شبیه سازی
۸۸ .....	-۷-۴ - شرح عملکرد چند بلوک به کار رفته در شبیه سازی
۹۱ .....	فصل ۵ - نتیجه‌گیری و پیشنهادها
۹۱ .....	-۱-۵ - نتیجه‌گیری
	-۲-۵ - پیشنهادها
۹۴ .....	فهرست مراجع
۹۷ .....	واژه نامه‌ی فارسی به انگلیسی
۱۰۰ .....	واژه نامه‌ی انگلیسی به فارسی

## فهرست علایم و نشانه‌ها

### علامت اختصاری

### عنوان

$E$	انرژی جنبشی
$m$	جرم
$V_w$	سرعت باد
$\rho$	چگالی وزنی هوا
$A$	سطح موثر
$C_p$	ضریب توان رتور
$\lambda$	نسبت سرعت خطی نوک پره‌ها به سرعت باد
$W_{rot}$	سرعت زاویه‌ای نوک پره‌ها
$\theta$	زاویه گام پره
$t$	زمان
$P$	تعداد قطب‌ها
$f$	فرکانس
$n$	سرعت خطی
$\omega_m$	سرعت مکانیکی محور
$\omega_s$	سرعت زاویه‌ای ولتاژ استاتور
$\omega_r$	سرعت زاویه‌ای ولتاژ رتور
$S$	لغزش
$P_s$	توان استاتور
$P_r$	توان رتور

$P_m$	توان مکانیکی محور
$\beta$	زاویه پره
$D_t$	میرایی خودی توربین
$D_g$	میرایی خودی ژنراتور
$D_m$	میرایی متقابل
$K_{sh}$	سختی محور
$T_T$	گشتاور توربین
$T_{sh}$	گشتاور محور
$J_t$	ضریب اینرسی توربین
$J_g$	ضریب اینرسی ژنراتور
$\omega_t$	سرعت زاویه‌ای توربین
$\omega_g$	سرعت زاویه‌ای ژنراتور
$\theta_t$	زاویه توربین
$\theta_g$	زاویه ژنراتور
$v_{ds}$	ولتاژ استاتور محور d ژنراتور
$v_{qs}$	ولتاژ استاتور محور q ژنراتور
$v_{os}$	ولتاژ استاتور محور خنثی ژنراتور
$v_s$	ولتاژ استاتور ژنراتور
$v_{dr}$	ولتاژ رتور محور d ژنراتور
$v_{qr}$	ولتاژ رتور محور q ژنراتور
$v_{or}$	ولتاژ رتور محور خنثی ژنراتور
$v_r$	ولتاژ رتور ژنراتور
$i_{ds}$	جريان استاتور محور d ژنراتور

$i_{qs}$	جريان استاتور محور q ژنراتور
$i_{os}$	جريان استاتور محور خنثی ژنراتور
$i_s$	جريان استاتور ژنراتور
$i_{dr}$	جريان رتور محور d ژنراتور
$i_{qr}$	جريان رتور محور q ژنراتور
$i_{or}$	جريان رتور محور خنثی ژنراتور
$i_r$	جريان رتور ژنراتور
$\psi_{ds}$	شار پیوندی استاتور محور d ژنراتور
$\psi_{qs}$	شار پیوندی استاتور محور q ژنراتور
$\psi_{dr}$	شار پیوندی رتور محور d ژنراتور
$\psi_{qr}$	شار پیوندی رتور محور q ژنراتور
$\lambda_{ds}$	شاردور استاتور محور d ژنراتور
$\lambda_{qs}$	شاردور استاتور محور q ژنراتور
$\lambda_{dr}$	شاردور رتور محور d ژنراتور
$\lambda_{qr}$	شاردور رتور محور q ژنراتور
$\lambda_s$	شاردور استاتور ژنراتور
$\lambda_r$	شاردور رتور ژنراتور
$\gamma$	زاویه بین دو شاردور $\lambda_s$ و $\lambda_r$
$R_s$	مقاومت استاتور ژنراتور
$R_r$	مقاومت رتور ژنراتور
$L_s$	ضریب القایی استاتور ژنراتور
$L_r$	ضریب القایی رتور ژنراتور
$L_m$	ضریب القایی متقابل ژنراتور

$X_s$	اندوکتانس استاتور ژنراتور
$X_r$	اندوکتانس رتور ژنراتور
$X_m$	اندوکتانس متقابل ژنراتور
$\omega_s$	سرعت زاویه‌ای شبکه
$\omega_b$	سرعت زاویه‌ای پایه
$\omega_r$	سرعت زاویه‌ای رتور
$T_{em}$	گشتاور الکترومغناطیسی ژنراتور
$T_m$	گشتاور مکانیکی ژنراتور

## فهرست جداول

عنوان	صفحه
جدول ۱-۲: ظرفیت نصب شده در نیروگاه منجیل و رودبار [۴۶]	۱۵
جدول ۲-۲: ظرفیت نصب شده نیروگاه بینالود [۴۶]	۱۶
جدول ۲-۳: حالات عملکرد ممکن برای ژنراتور القایی تغذیه دوگانه.	۳۳
جدول ۲-۴: مزایا و معایب انواع ژنراتورها.	۳۶
جدول ۳-۱: مدل ژنراتورهای القایی با مراتب مختلف.	۵۰
جدول ۴-۱: چگونگی انتخاب بردارهای ولتاژ مناسب.	۶۳
جدول ۴-۲: الگوی انتخاب بردار ولتاژ مناسب.	۷۱

## فهرست شکل‌ها

عنوان	صفحه
شکل ۱-۲: رشد انرژی باد در تولید انرژی [۴۵]	۱۴
شکل ۲-۲: اجزای بکار رفته در یک نمونه از توربین بادی	۱۶
شکل ۳-۲: جریان باد در اطراف توربین	۱۸
شکل ۴-۲: نمودار ضریب عملکرد رتور	۱۹
شکل ۵-۲: منحنی توان - سرعت [۴۹]	۲۱
شکل ۶-۲: منحنی توان سرعت با دو سرعت سنکرون.	۲۷
شکل ۷-۲: نحوه اتصال ژنراتورهای القایی قفس سنجابی به شبکه.	۲۸
شکل ۸-۲: نحوه اتصال سیستم راه انداز به ژنراتور القایی	۲۹
شکل ۹-۲: نحوه اتصال DFIG به شبکه	۳۱
شکل ۱۰-۲: منحنی عملکرد یک ژنراتور DFIG (الف) زیر سنکرون (ب) فوق سنکرون.	۳۳
شکل ۱۱-۲: نحوه اتصال ژنراتورهای SG	۳۵
شکل ۱۲-۲: هزینه تقریبی قسمتهای مختلف یک توربین بادی	۳۷
شکل ۱۳-۲: سهم انواع مختلف ژنراتورها در نیروگاههای بادی [۵۳]	۳۸
شکل ۱-۳: نمودار $C_p$ بر حسب $\lambda$ برای مقادیر مختلف زاویه پره.	۴۱
شکل ۲-۳: مدل نظری جعبه دنده شامل سرعت، گشتاور و میرایی‌های رتور و ژنراتور	۴۲
شکل ۳-۳: بلوك شبیه سازی ژنراتور به روش فضای حالت	۴۷
شکل ۴-۳ مدل ماشین پیاده سازی شده در محیط Matlab/Simulink با قابلیت تخمین پارامترها.	۴۸
شکل ۵-۳: کنترل اعمال شده در سمت رotor ژنراتور.	۵۲
شکل ۱-۴: شمای کلی کنترل ماشین القایی به روش DTC	۵۶

شکل ۴-۲: نمایش بردارهای شار استاتور و رتور و جریان های استاتور (با صرفنظر از مقاومت استاتور).	۵۷
شکل ۴-۳: بلوک دیاگرام تخمین گر شار و گشتاور (Flux and torque estimator).	۵۹
شکل ۴-۴: بلوک دیاگرام یک اینورتر منبع ولتاژ سه فاز.	۶۰
شکل ۴-۵: نمایش بردارهای مبدل دو سطحی.	۶۱
شکل ۴-۶: تأثیر بردارهای شش گانه روی شار استاتور و گشتاور موتور.	۶۲
شکل ۴-۷: تقسیم بندی فضای کار موتور در یک سیکل.	۶۳
شکل ۴-۸: دیاگرام فازوری جهت یابی میدان ماشین القایی.	۶۵
شکل ۴-۹: بلوک دیاگرام عمومی برای سیستم کنترل جهت یابی میدان.	۶۷
شکل ۴-۱۰: طرح جهت یابی مستقیم میدان.	۶۸
شکل ۴-۱۱: ولتاژ خروجی تولیدی توسط بردارهای فضایی.	۶۹
شکل ۴-۱۲: الگوی کلیدزنی در وضعیتی از مقادیر احتمالی $\Delta i_q$ و $\Delta i_d$ زاویه رتور.	۷۱
شکل ۴-۱۳: اینورتر پل تکفاز با بار غیر خطی.	۷۲
شکل ۴-۱۴: نحوه ردیابی جریان مرجع در یک پریود T.	۷۴
شکل ۴-۱۵: طرح مداری فیلتر اکتیو موازی.	۷۵
شکل ۴-۱۶: مدار ماشین القایی در مرجع dq.	۷۷
شکل ۴-۱۷: شماتیک مدل شبیه سازی شده مزرعه بادی در شبکه قدرت و محل وقوع خطا.	۸۲
شکل ۴-۱۸: شکل موج سه فاز در پایانه خروجی ژنراتورهای القایی تغذیه دوگانه در حین خطا و پس از آن.	۸۳
شکل ۴-۱۹: کاهش اندازه ولتاژ به ۱۰ درصد مقدار نامی آن و تغییرات شکل موج ولتاژ استاتور در حین خطا.	۸۴
شکل ۴-۲۰: شکل موج جریان استاتور فاز b بدون استفاده از روش کنترلی جریان پیشگویانه.	۸۵
شکل ۴-۲۱: شکل موج جریان استاتور فاز b با استفاده از روش کنترلی جریان پیشگویانه.	۸۵
شکل ۴-۲۲: شکل موج توان اکتیو خروجی از ژنراتورهای القایی تغذیه دوگانه در حین و پس از خطا.	۸۶

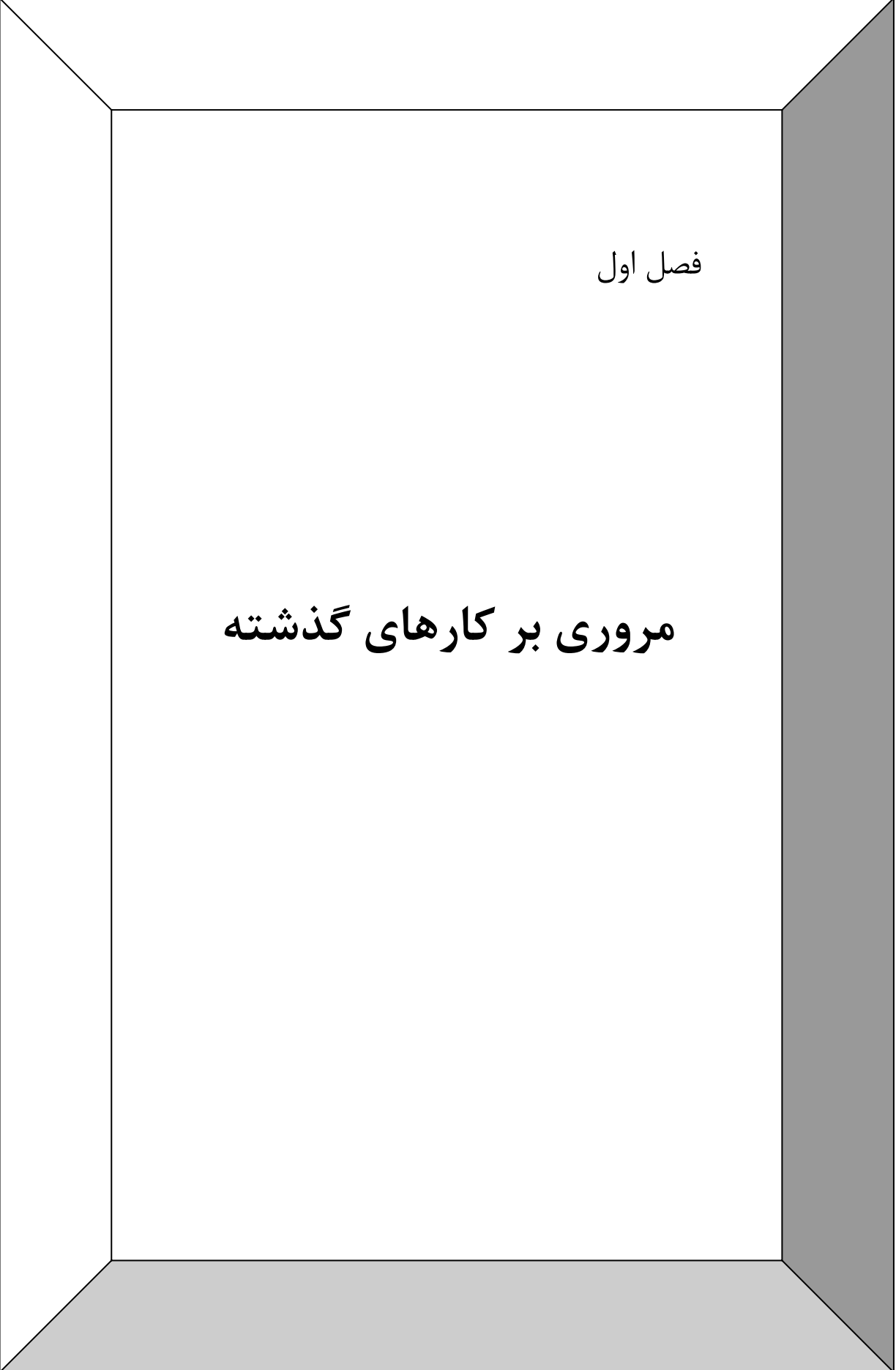
۲۳-۴: شکل موج راکتیو خروجی از ژنراتورهای القایی تغذیه دوگانه در حین و پس از خطا. ۸۶

۲۴-۴: شکل موج گشتاور الکترومغناطیسی ژنراتورهای القایی تغذیه دوگانه در حین و پس از خطا. ۸۷

۲۵-۴: پارامترهای ماشین اعمالی به کنترل اصلی..... ۸۸

۲۶-۴: تبدیل کد بردار به سیگنال‌های آتش مناسب برای اینورتر. ۸۹

۲۷-۴: دیاگرام شبیه سازی شده حافظه موقت برای تثبیت فرکانس کلیدزنی. ۸۹



فصل اول

## مرواری بر کارهای گذشته

## ۱-۱- مقدمه

امروزه به علت کاهش منابع سوخت‌های فسیلی و افزایش نگرانی‌ها در مورد افزایش آلودگی و گرمای زمین، تمایل به استفاده از منابع غیر فسیلی و تجدید پذیر جهت تولید برق افزایش یافته است. منابع متفاوت تجدید پذیر مانند خورشید، زمین گرمایی، باد و غیره برای این منظور معرفی شده‌اند که در حال حاضر انرژی باد از سایر موارد مورد بیشترین توجه قرار گرفته و بیشترین رشد را داشته است به طوری که بسیاری از کشورها مانند آلمان و دانمارک برنامه ریزی بلند مدتی انجام داده‌اند تا در چند سال آینده بخش قابل ملاحظه‌ای از انرژی خود را از طریق باد تأمین نمایند. انرژی باد و توربین‌های بادی در ابتدا به عنوان تلمبه‌هایی جهت بالا کشیدن آب از زیر زمین استفاده می‌شند ولی با پیشرفت تکنولوژی فکر استفاده از این توربین‌ها برای تولید برق به ذهن بشر رسخ کرد. همچنین همان‌طور که از نشانه‌هایی که توسط باستان‌شناسان کشف شده است توربین‌های بادی در ابتدا به صورت محور عمودی بوده‌اند که بسیاری از آنان در ایران یافت شده است. استفاده از باد جهت تولید برق در ابتدا ساده به نظر می‌رسد زیرا با استفاده از این نیرو و گرداندن یک ژنراتور می‌توان برق تولید کرد. با این حال عملأً بکار بودن این نیرو نیاز به تکنولوژی نسبتاً پیچیده‌ای دارد که یکی از دلایل آن غیر قابل پیش‌بینی و غیر قابل کنترل بودن نیروی باد می‌باشد. این نیرو مانند آب در پشت سدها قابل مهار نبوده و در ابتدا جهت کنترل آن باید فکری شود. به همین منظور جهت افزایش کارایی و کیفیت برق تولیدی از این نیروگاه‌ها روش‌های متفاوتی از جمله مکانیکی و الکتریکی اجرا شده و همچنان به علت تازگی این نوع تکنولوژی در حال انجام است.

انرژی باد نظیر سایر منابع انرژی تجدید پذیر از نظر جغرافیایی گستره‌ده و در عین حال به صورت پراکنده و غیر متمرکز و تقریباً همیشه در دسترس می‌باشد. انرژی باد طبیعتی نوسانی و متناوب داشته و وزش دائمی ندارد. هزاران سال است که انسان با استفاده از آسیاب‌های بادی تنها جزء بسیار کوچکی از آن را استفاده می‌کند. این انرژی تا پیش از انقلاب صنعتی به عنوان یک منبع انرژی به طور گستره‌های مورد بهره‌برداری قرار می‌گرفت، ولی در دوران انقلاب صنعتی، استفاده از سوخت‌های فسیلی به دلیل

ارزانی و قابلیت اطمینان بالا جایگزین انرژی باد شد. در این دوره توربین‌های بادی قدیمی دیگر از نظر اقتصادی قابل رقابت با بازار انرژی‌های نفت و گاز نبودند. تا اینکه در سال‌های ۱۹۷۳ و ۱۹۷۸ دو شوک بزرگ نفتی ضربه بزرگی به اقتصاد انرژی‌های حاصل از نفت و گاز وارد آورد. به این ترتیب هزینه انرژی تولید شده به وسیله توربین‌های بادی، در مقایسه با نرخ جهانی قیمت انرژی بهبود یافت. پس از آن مراکز و مؤسسات تحقیقاتی و آزمایشگاهی متعددی در سراسر دنیا به بررسی تکنولوژی‌های مختلف جهت استفاده از انرژی باد به عنوان یک منبع بزرگ انرژی پرداختند. به علاوه این بحران باعث ایجاد تمایلات جدیدی در زمینه کاربرد تکنولوژی انرژی باد جهت تولید برق متصل به شبکه، پمپاژ آب و تأمین انرژی الکتریکی نواحی دور افتداده شد. همچنین در سال‌های اخیر مشکلات زیست محیطی و مسائل مربوط به تغییر آب و هوای کره زمین به علت استفاده از منابع انرژی فسیلی بر شدت این تمایلات افزوده است.

تاریخچه استفاده از ژنراتورهای القایی تغذیه دوگانه (DFIG) در بین ژنراتورهای توربین بادی چند-مگاواتی (WTG) افزون بر ۲۰ سال است. به دلیل بحران قیمت نفت در دهه ۷۰ میلادی تلاش‌های ارزشمندی در آلمان و آمریکا صرف توسعه ژنراتورهای توربین بادی چند-مگاواتی برای پیوستن به سیستم‌های انتقال و توزیع الکتریکی شده است.

از سال ۱۹۷۵ پیشرفت‌های شگرفی در زمینه توربین‌های بادی در جهت تولید برق به عمل آمد است. در سال ۱۹۸۰ اولین توربین برق بادی متصل به شبکه سراسری نصب گردید. بعد از مدت کوتاهی اولین مزرعه برق بادی چند مگاواتی در آمریکا نصب و به بهره برداری رسید.

در پایان سال ۱۹۹۰ ظرفیت توربین‌های برق بادی متصل به شبکه در جهان به ۲۰۰ مگاوات رسید که توانایی تولید سالیانه ۳۲۰۰ گیگا وات ساعت برق را داشته که تقریباً تمام این تولید مربوط به ایالت کالیفرنیا آمریکا و کشور دانمارک بود. امروزه کشورهای دیگری نظیر هلند، آلمان، بریتانیا، ایتالیا، اسپانیا، چین و هندوستان برنامه‌های ملی پروژه‌ای را در جهت توسعه و عرضه تجاری انرژی باد آغاز کرده‌اند.

در طی دهه گذشته هزینه‌های تولید انرژی به کمک توربین‌های بادی به طور قابل ملاحظه‌ای کاهش یافته است. در حال حاضر توربین‌های بادی از کارایی و قابلیت اطمینان بیشتری در مقایسه با ۱۵ سال پیش برخوردارند. با این همه استفاده وسیع از سیستم‌های مبدل انرژی باد (WECS) هنوز آغاز نگردیده

است. در مباحث مربوط به انرژی باد بیشتر تاکیدها بر توربین‌های بادی مولد برق جهت اتصال به شبکه است زیرا این نوع از کاربرد انرژی باد می‌تواند سهم مهمی در تأمین برق مصرفی جهان داشته باشد.

بر اساس پیش‌بینی‌های صورت گرفته توسط انجمن انرژی بادی (WWEA) انرژی بادی تا سال ۲۰۲۰ قادر به تأمین حداقل ۱۲٪ از برق مصرفی جهان خواهد بود و همچنین ظرفیت نصب شده جهانی در این سال به حداقل ۱۵۰۰ گیگاوات خواهد رسید. به طور کلی با استفاده از انرژی باد به عنوان یک منبع انرژی در دراز مدت می‌توان دو برابر مصرف انرژی الکتریکی فعلی جهان را تأمین کرد.

## ۱-۲- پیشنهاد پژوهشی

استفاده از نیروی باد برای تولید برق با بکار بردن توربین‌های بادی ساده شروع شد ولی برق تولیدی آن‌ها از کیفیت و قابلیت اطمینان بالایی برخوردار نبود. در ابتدا با اضافه کردن تجهیزاتی به همان نوع توربین‌ها سعی در بهبود برق تولیدی نمودند و تلاش‌ها فقط در جهت شبیه سازی خود توربین بادی صورت می‌گرفت [۱] و [۲]. به عنوان مثال در [۳] با استفاده از مدل درجه پنجم DFIG یک مدل ساده استخراج نموده و تأثیر خطاهای مختلف را بر مدل پیشنهادی در نرمافزار PSCAD/EMTDC آزمایش کرده است. با این حال نتایج حاصل از شبیه‌سازی را می‌توان مشابه با نتایج یک مدل پیچیده‌تر نیز دید.

با گذشت زمان به طور کلی توربین‌های بادی جدید و پیشرفته‌تری پیشنهاد و به شبکه متصل گردید؛ بنابراین بررسی تأثیر آن‌ها بر شبکه لازم به نظر می‌رسید. [۴] به بررسی تأثیر توربین بادی بر پارامترهای شبکه و پایداری آن در هنگام اتصال به شبکه پرداخته ولی روشی را جهت بهبود آن ارائه نداده است. [۵] توربین بادی با ژنراتور القایی تغذیه دوگانه را در یک شبکه بسیار ساده ولی نامتقارن مدل کرده و برای بهبود کارایی آن در کنترل‌ها (DFIG) پارامترهای توالی مثبت و منفی را پس از جداسازی به طور مجزا کنترل نموده است ولی نوآوری در استفاده از کنترل‌های پیچیده‌تر یا تغییر نوع مبدل‌ها دیده نمی‌شود. همچنین با اعمال یک فیلتر در خروجی توربین بادی در حقیقت خواننده را از مشاهده خروجی واقعی توربین بادی محروم کرده است.